

9. Метревели М.Д., Кузнецов В.И. Абастум. астрофиз. обс. 1977, 48, 123.
10. Воронилов В.И., Каландадзе Н.Б. Астрометрия и астрофизика (в печати).
11. Каландадзе Н.Б., Колесник Л.Н. Астрометрия и астрофизика (в печати).
12. Каландадзе Н.Б., Колесник Л.Н. Астрометрия и астрофизика (в печати).
13. Verschuur G.L. Astron. and Astroph. 1973, 27, N1, 73.
14. Воронилов В.И. Вопросы астрофизики. Киев, 1966, 156.
15. Воронилов В.И., Полящук Э.П. Вопросы астрофизики. Киев, 1967, 5.
16. Becker W. and Fang Ch. Astron. and Astroph. 1973, 22, N2, 187.
17. Rhijn P.J. van. Publ. Kapteyn Astr. Lab. Groningen. 1936, N47.
18. McCuskey S.W. Vistas in Astr. 1966, 7, 141.

МЕЖЗВЕЗДНОЕ ПОГЛОЩЕНИЕ СВЕТА И ПРОСТРАНСТВЕННОЕ РАСПРЕДЕЛЕНИЕ
ЗВЕЗД В ОБЛАСТИ ВОКРУГ СКОПЛЕНИЯ NGC 6802

Н.Г. ГУСЕВА^{*}), М.Д. МЕТРЕВЕЛИ

Настоящая работа выполнена по Плану исследования структуры Галактики в семи направлениях в северной части Млечного Пути, принятому в 1965 г. [1] Абастумской астрофизической обсерваторией и Главной астрономической обсерваторией АН Украинской ССР для совместного выполнения.

Исследуется распределение межзвездного поглощающего вещества и звезд различных спектральных классов в площадке размером 18.4 кв. градуса (рис. I), в центре которой находится скопление NGC 6802. Координаты центра площадки следующие:

$$\alpha = 19^{\text{h}}28^{\text{m}}, \quad \delta = +20^{\circ}10', \\ 1 = 55^{\circ}3, \quad b = +0^{\circ}9.$$

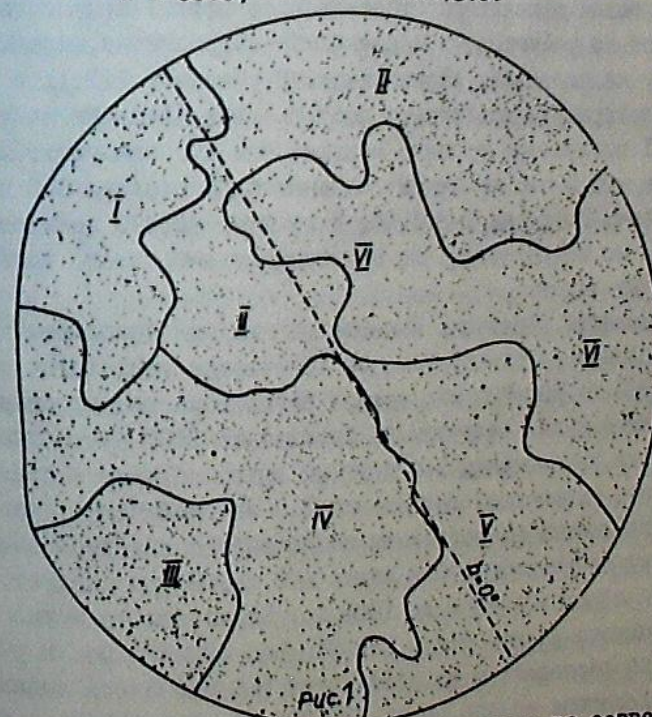


Рис.1

Исследуемая площадка находится в направлении на созвездия Стрельца и Масличий. Направление характерно тем, что оно проходит между спиральной вет-

^{*}) Главная астрономическая обсерватория АН Украинской ССР.

вью Стрельца и Местной спиральной ветвию. По всей вероятности луч зрения здесь не пересекает спиральную ветвь, а идет вдоль нее. Площадка частично перекрывается областью, в центре которой находится скопление NGC 6802 [2].

Межзвездное поглощение света. Основой для определения межзвездного поглощения света служили спектральные и фотометрические данные о 2045 звездах из каталога [3]. Предел полного охвата каталога $V = 12.5$ зв. величины. Исследуемая площадка была разбита на 6 участков приблизительно одинаковой видимой плотности звезд (рис. I). Разбивка проводилась по снимкам карт Паломарского звездного атласа. В каждом из шести участков построены кривые зависимости избытков цвета от неисправленного модуля расстояния. При построении кривых поглощения тем звездам, которые в каталоге не имели классов светимости, мы приписывали их с учетом величин избытков цвета этих звезд. При этом мы руководствовались предварительными кривыми, построенными по звездам с уверенными классами светимости.

На рис. 2 (I-VI) приведены кривые зависимости A_V от расстояния в килопарсеках.

Проверка влияния эффекта наблюдательной селекции на кривые поглощения показала, что для звезд ранних спектральных классов, определяющих величину поглощения на более далеких расстояниях, этот эффект несуществен.

Как видно из рисунков, в исследуемом направлении пылевые комплексы начинаются уже на небольших расстояниях. В участках III, IV и V, на расстоянии 500 пс, поглощение достигает полтора-двух звездных величин. В участках I, II и VI поглощение гораздо меньше, чем в предыдущих; на расстоянии около 500 пс $A_V = 0.5$ зв. величины. Начиная с расстояния 600 пс, поглощение резко возрастает, достигая 2-2.5 зв. величины; за 800 пс звезды в этих участках почти не встречаются, за исключением небольшого количества ранних спектральных типов.

Можно выделить отдельные пылевые облака или комплексы поглощающих облаков в отдельных участках. Так, во II участке выделяются облака на расстояниях 220-300 пс, 580-750 пс; дальше поглощение растет сравнительно медленно, достигая 2.7 зв. величины на расстоянии 1150 пс. В участке III находится комплекс, "накладывающихся" друг на друга облаков в пределах расстояний 170-470 пс, вызывающий поглощение 1.8 зв. величины. Участок IV характеризуется непрерывным возрастанием поглощения с максимальным значением - 3.5 зв. величины на расстоянии около 900 пс. Затем следует прозрачная среда и звезды прослеживаются до 1600 пс. Здесь все же можно выделить отдельные поглощающие облака между 130-360 пс, 430-880 пс. В участке V поглощающие облака расположены до расстояния 500 пс. Здесь выделяются три отдельные поглощающие облака между 120-220 пс, 320-350 пс и 430-520 пс.

В таблице I приведены оптические плотности выделенных облаков для всех шести участков.

По данным Фитцджеральда [4] для исследуемого направления (зона I4 в [4]) значения поглощения составляют около 1.3 и 2.10 зв. величины для расстояний 0.5 и 1 кпс, соответственно. По нашим кривым, средние значения пог-

лощения составляют 1.3 и 2.5 зв. величины, что говорит о хорошем согласии данных в обоих случаях (рис. 3).

Таблица I

I участок		II участок		III участок	
г пс	$d^m/\text{кпс}$	г пс	$d^m/\text{кпс}$	г пс	$d^m/\text{кпс}$
0 - 465	0.9	200 - 370	2.4	170 - 190	14.0
465 - 585	4.2	580 - 705	12.8	190 - 420	3.1
585 - 615	30.0	885 - 1165	2.3	420 - 440	30.0
615 - 925	1.1	1165 - 2510	0.3	650 - 1955	1.7

IV участок		V участок		VI участок	
г пс	$d^m/\text{кпс}$	г пс	$d^m/\text{кпс}$	г пс	$d^m/\text{кпс}$
0 - 80	1.6	0 - 120	0.8	175 - 495	2.5
130 - 140	33.0	120 - 215	5.3	615 - 680	20.0
140 - 360	2.4	330 - 350	20.0	680 - 840	5.0
425 - 590	5.4	430 - 470	7.0		
590 - 770	2.7	470 - 510	24.2		
770 - 880	9.7	510 - 910	0.5		
		910 - 1025	4.3		

Сравнение полученных значений поглощения с данными Некеля [5,6] также показывает хорошее согласие. В частности, для расстояния скопления NGC 6802 I.I кпс значение поглощения составляет 2.43 зв. величины, а среднее поглощение для всей площадки по нашим данным для I кпс составляет 2.5 зв. величины.

На рис. 3 приведена средняя кривая поглощения исследованной площадки, а для сравнения нанесены также данные о поглощении, взятые из работ Н.Б. Григорьевой [7], Фитцджеральда [4], Некеля [5,6].

Сравнение с распределением поглощающей материи в соседнем направлении $l = 59^\circ$, по работе [2], показывает, что поглощение здесь в среднем на 0.5 зв. величины больше, чем в исследованном направлении. Следует отметить, что направление $l = 59^\circ$ ближе к спиральной ветви Капли-Лебедя, чем исследованное направление. Исследование поглощения и распределения звезд в этих двух участках проводилось по однородному материалу [3].

Анализ кривых поглощения показывает, что для участков I, II, VI, расположенных над галактической плоскостью, заметное поглощение начинается дальше 500 пс, в то время, как в участках III, IV, V, расположенных ниже галактической плоскости, поглощение начинается сразу за 100 пс и на расстоянии 500 пс оно достигает довольно больших значений - 2.0 зв. вел. Можно заключить, что в среднем, по всей исследованной площадке наиболее мощные комплексы темных облаков расположены в пределах расстояний от 300 пс до 700 пс.

С тем, чтобы установить реальность отдельных выделенных облаков пыли, необходимо оценить ошибки в определении A_V -поглощения и г - расстояний до звезд.

Все ошибки были вычислены способом, описанным в работах [8, 9, 10].

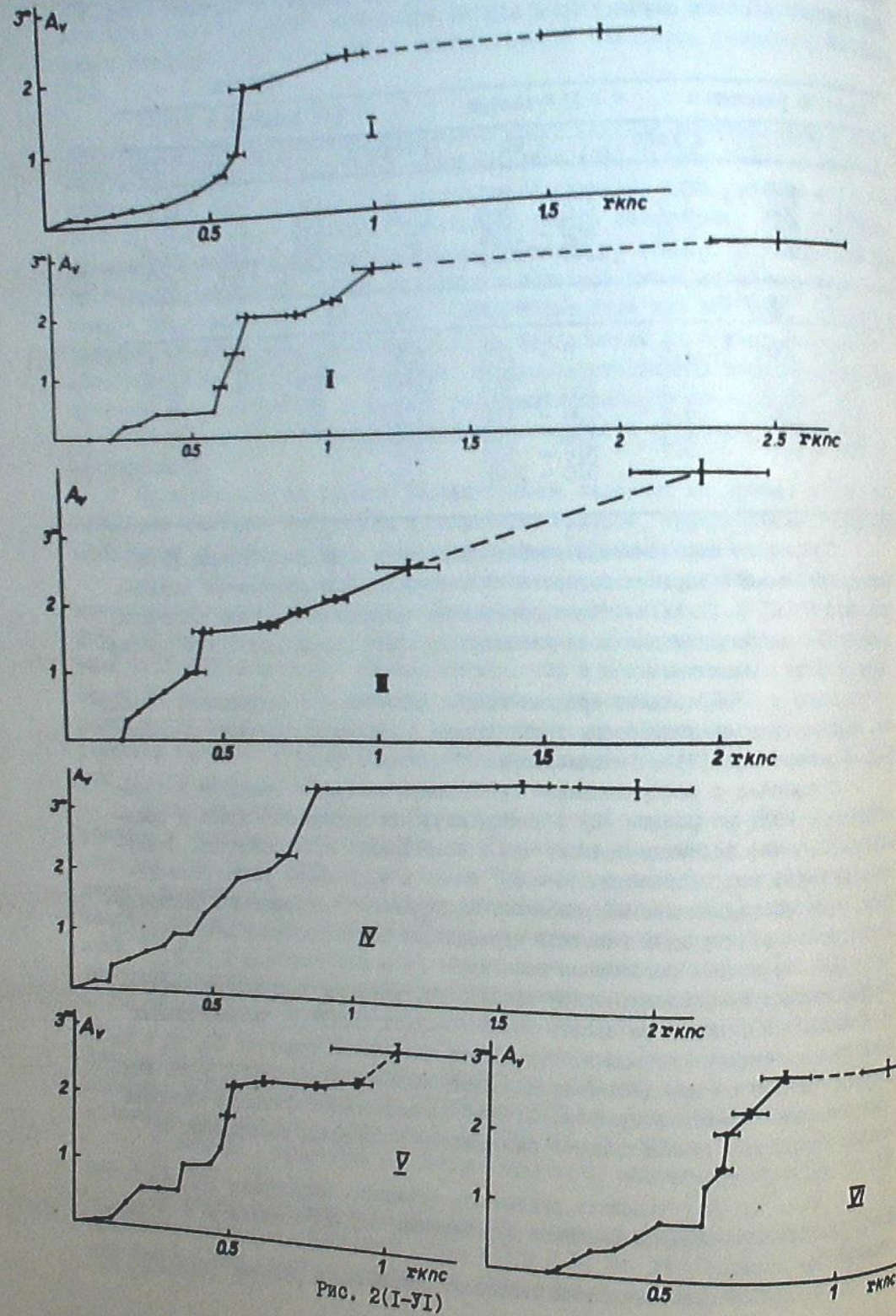


Рис. 2(I-VI)

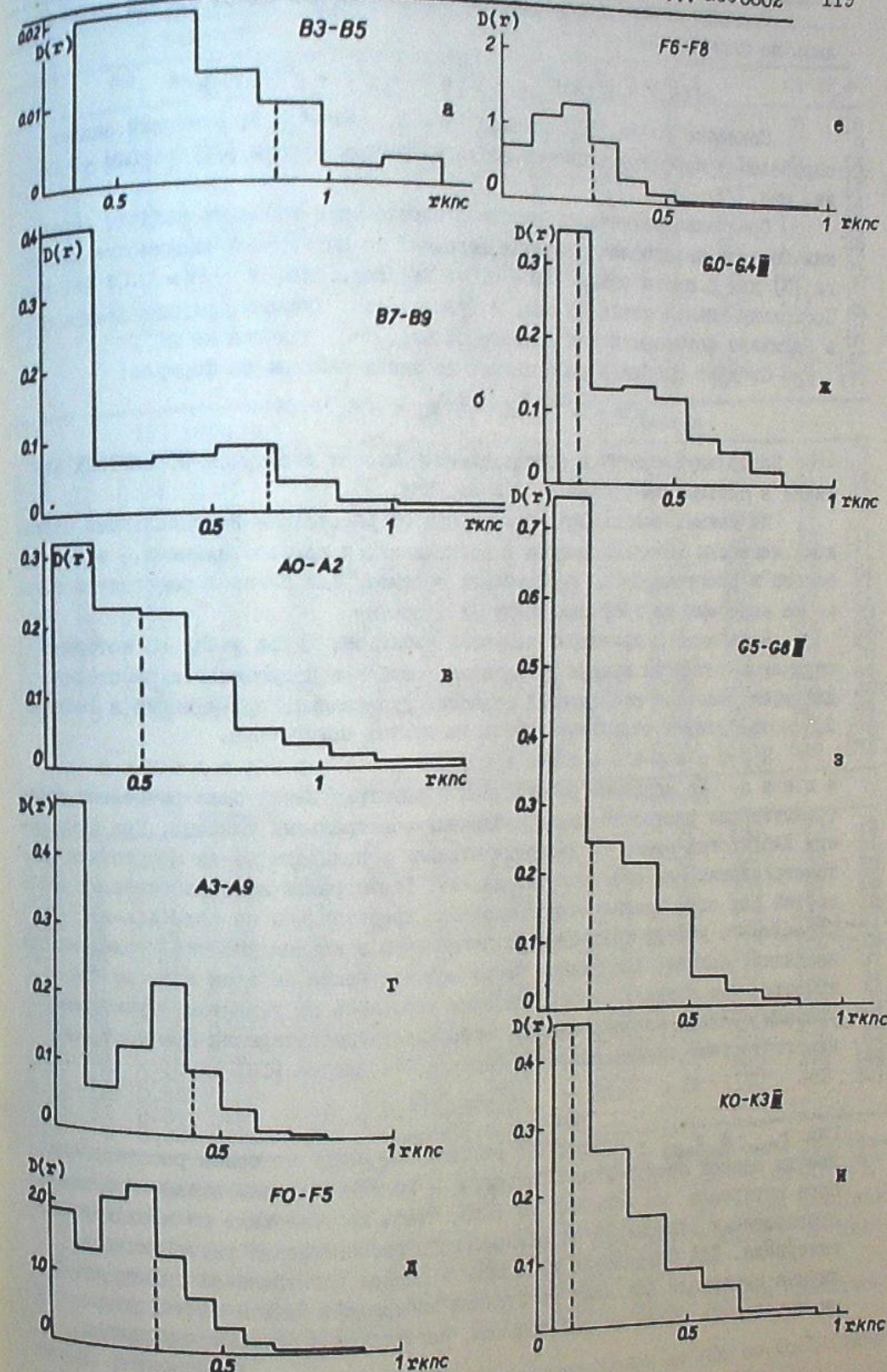


Рис. 4(а-и)

Средняя ошибка в определении поглощения для одной звезды вычислялась по формуле:

$$\sigma^2(A_v) = \sigma^2(R)E_{B-V}^2 + R^2[\sigma^2_B + \sigma^2_V + \sigma^2_{(B-V)}].$$

Согласно Исобе [II] принято $R = 3$, $\sigma_R = \pm 0.3$; значение ошибки определения нормальных цветов взято из работы Булона [I2] равным ± 0.05 зв. вел.

Среднеквадратическая ошибка в определении звездных величин (средняя по всем интервалам звездных величин) по внутренней сходимости каталога [3] для B цвета равна $\sigma_B = 0.045$ зв. вел., для $V - B$ = 0.04 зв. вел. Поскольку каждая точка на рис. 2 бралась по n звездам, при вычислении ошибки в величине поглощения для каждого облака, σ_{A_v} делится на \sqrt{n} .

Средние ошибки в расстояниях до звезд найдены по формуле:

$$\sigma_r = r(\sigma^2_m + \sigma^2_{M_v} + \sigma^2_{A_v})^{0.04}.$$

Наибольшую ошибку в определении σ_r вносит дисперсия абсолютных величин в системе MK, равная ± 0.6 зв. вел.

На кривых зависимости поглощения от расстояния вертикальными отрезками нанесены величины ошибок в поглощении, а горизонтальными – величины ошибок в расстояниях до поглащающих облаков. Для близких расстояний ошибки не нанесены на графиках ввиду их малости.

В таблице 2 приведены величины избыточков, числа звезд, по которым строились точки на кривых поглощения, ошибки в поглощении и расстоянии для всех участков исследуемой области. Расстояния, приведенные в таблице 2, соответствуют отдельным точкам на кривых поглощения.

Пространственное распределение звезд. По истинным расстояниям и спектрам звезд были вычислены пространственные плотности звезд различных спектральных классов. При вычислении плотностей около 9% звезд не входили в подсчеты из-за отсутствия фотометрических или спектральных данных. Гистограммы пространственных плотностей для всей исследованной площадки представлены на рис. 4(а-и). Они строились с учетом межзвездного поглощения в каждом участке исследованной площадки. Причем, для ранних звезд подсчет велся по всем классам светимости, для поздних – распределение строилось по гигантам. Пунктиром указаны пределы полного охвата. Выбор величины интервала при построении гистограмм сделан согласно формуле Стерджесса [I3]:

$$r_{\text{опт.}} = \frac{r_{\text{max}} - r_{\text{min}}}{1 + 3.322 \log N},$$

где r_{max} и r_{min} – предельные расстояния, между которыми распределены звезды данной спектральной группы; N – количества этих звезд. При выборе интервала мы исходили из того, чтобы при разбивке не наблюдалось существенных отклонений от равномерного распределения внутри каждого интервала. Для нахождения плотности в данной спектральной группе величина интервала для всех расстояний выбиралась одна и та же. Объемы находились согласно расстояниям, определяющим пределы интервалов.

Таблица 2

E_{B-V}	n	I участок			II участок							
		σ_{A_v}	σ_{A_v}/\sqrt{n}	r	σ_r/\sqrt{n}	E_{B-V}	n	σ_{A_v}	σ_{A_v}/\sqrt{n}	r	σ_r/\sqrt{n}	
0.02	6	0.23	0.09	75	23	9	0.00	5	0.23	0.10	I25	37
0.02	I2	0.23	0.07	I23	37	II	0.00	38	0.23	0.04	200	57
0.05	I2	0.24	0.07	205	60	I8	0.07	34	0.24	0.04	255	80
0.07	I8	0.24	0.06	265	76	I8	0.09	49	0.24	0.03	310	97
0.09	51	0.24	0.05	355	106	I4	0.13	55	0.24	0.03	375	104
0.14	I9	0.24	0.05	460	I38	30	0.13	37	0.24	0.04	470	I40
0.20	20	0.24	0.05	535	159	37	0.14	40	0.24	0.04	580	I75
0.30	I5	0.25	0.06	585	I75	44	0.28	30	0.25	0.04	605	I77
0.61	7	0.30	0.11	613	189	71	0.47	42	0.27	0.04	660	I93
0.72	8	0.32	0.11	925	290	I01	0.67	17	0.31	0.08	705	219
0.72	2	0.32	0.23	I655	486	368	0.67	23	0.31	0.06	880	57
							0.74	30	0.32	0.06	I015	315
							0.89	7	0.36	0.13	I165	373
							I.00	4	0.57	0.28	2510	953
											477	

E_{B-V}	n	III участок			IV участок							
		σ_{A_v}	σ_{A_v}/\sqrt{n}	r	σ_r/\sqrt{n}	E_{B-V}	n	σ_{A_v}	σ_{A_v}/\sqrt{n}	r	σ_r/\sqrt{n}	
0.01	5	0.23	0.10	I75	51	23	0.04	II	0.23	0.07	82	23
0.09	II	0.24	0.07	195	60	I8	0.05	9	0.24	0.08	I30	41
0.14	I9	0.24	0.05	230	69	I6	0.14	I3	0.24	0.07	I43	41
0.20	24	0.24	0.05	275	78	I6	0.16	71	0.24	0.03	200	57
0.25	I7	0.25	0.06	315	94	23	0.20	45	0.24	0.04	260	78
0.27	I7	0.25	0.06	385	I13	28	0.24	51	0.24	0.03	320	99
0.34	II	0.26	0.08	420	I22	37	0.32	53	0.25	0.04	365	I01
0.54	20	0.28	0.06	445	I33	30	0.33	38	0.25	0.04	425	I27
0.56	I3	0.29	0.08	650	198	55	0.45	38	0.28	0.06	540	I63
0.63	I7	0.30	0.08	755	228	55	0.52	26	0.28	0.05	590	I77
0.68	I4	0.31	0.08	870	276	74	0.63	35	0.30	0.05	705	219
0.86	I9	0.35	0.20	I100	350	203	0.68	25	0.31	0.06	770	242
I.28	3	0.53	0.31	I955	725	419	0.77	25	0.33	0.07	880	283
							0.97	18	0.37	0.09	I580	518
							I.01	9	0.38	0.13	I580	375
							I.10	3	0.40	0.23	I950	649

E_{B-V}	n	V участок			VI участок							
		σ_{A_v}	σ_{A_v}/\sqrt{n}	r	σ_r/\sqrt{n}	E_{B-V}	n	σ_{A_v}	σ_{A_v}/\sqrt{n}	r	σ_r/\sqrt{n}	
0.00	3	0.23	0.14	70	21	II	0.00	II	0.23	0.07	I80	53
0.02	I2	0.23	0.07	I20	32	9	0.04	8	0.23	0.08	255	76
0.13	I9	0.24	0.05	I62	51	II	0.06	9	0.24	0.05	300	87
0.20	21	0.24	0.05	I25	53	II	0.12	22	0.24	0.04	I370	I13
0.20	26	0.24	0.05	270	83	I6	0.14	37	0.24	0.04	430	I22
0.20	26	0.24	0.05	332	94	I8	0.20	35	0.24	0.04	492	I56
0.34	I4	0.26	0.07	350	I04	28	0.25	46	0.25	0.05	615	I89
0.35	24	0.26	0.05	435	I24	25	0.25	26	0.25	0.05	620	I86
0.42	22	0.27	0.06	470	I40	30	0.45	29	0.27	0.06	670	203
0.60	I0	0.30	0.09	490	I52	48	0.54	27	0.28	0.06	680	I14
0.74	I3	0.32	0.09	510	I56	44	0.70	15	0.32	0.08	740	230
0.79	I3	0.33	0.09	610	I91	53	0.80	8	0.34	0.12	840	279
0.79	I8	0.33	0.08	775	244	57	0.96	5	0.37	0.17	I180	382
0.82	I1	0.34	0.10	910	290	87	0.96	3	0.37	0.21	I180	221
0.98	3	0.38	0.22	I030	732	424						

Плотности вычислялись как отношения количества звезд в интервалах к соответствующим объемам. Эти плотности для всей площадки рассчитывались на 10^3 pc^3 . Несмотря на то, что луч зрения в нашем направлении идет вдоль межрукавной области, тем не менее, хотя и в небольшом количестве (7 звезд), но все же мы встречаем горячие звезды спектральных классов O-B2.

Распределение звезд классов B3-B5 до предела полного охвата приблизительно равномерное. Основные количества звезд B7-B9 сконцентрированы до 200 pc, после чего

начинается быстрое падение плотности. Общий ход распределения этих звезд аналогичен с распределением в направлении на NGC6823 ($l = 59^\circ$), но общее количество звезд в последнем направлении в 2 раза больше.

До расстояния 230 пс мы не встречаем звезд АО-А2. Дальше количество этих звезд резко возрастает и наибольшая плотность приходится на расстояние 300-400 пс от Солнца, что довольно хорошо согласуется с положением близлежащих пылевых комплексов. Пылевые облака в исследованном направлении простираются до 700 пс, но предел полного охвата звезд АО-А2 в некоторых участках немного меньше. Величина плотности и характер распределения звезд АО-А2 в направлении $l = 59^\circ$ почти одинаковы.

Звезды спектральных классов A3-A9 имеют максимум в распределении тоже около 400 pc. В направлении на NGC 6823 плотности этих звезд в 2 раза больше.

Небольшое увеличение плотности звезд F0-F5 и F6-F8 соответствует расстояниям 200-300 пс. Так как предел полного охвата этих звезд не больше 300-400 пс (различный по разным участкам), то говорить о достоверности спада количества звезд на более далеких расстояниях не следует.

Падение плотности карликов поздних спектральных классов начинается непосредственно от Солнца.

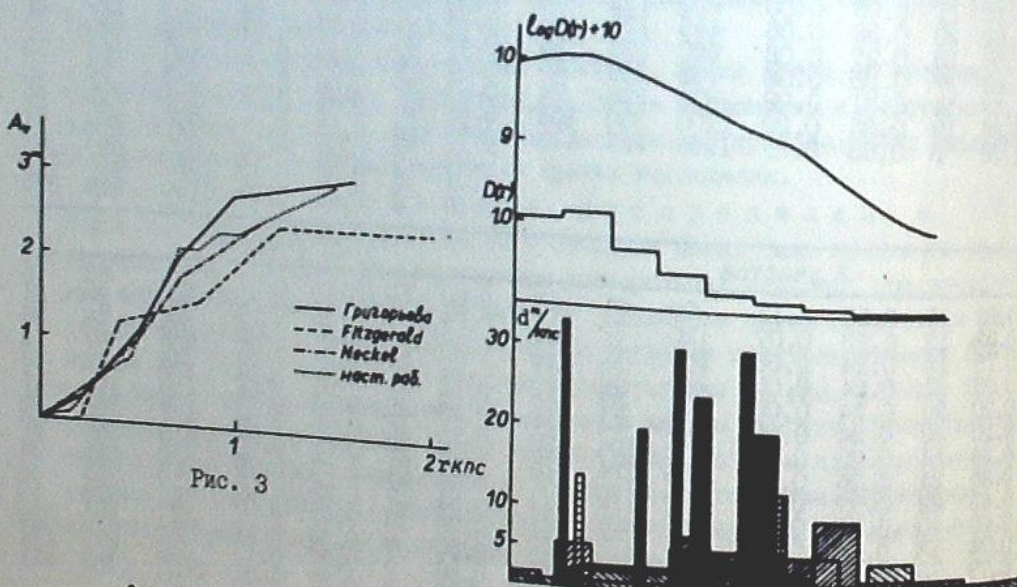


Рис. 3.

Рис. 5

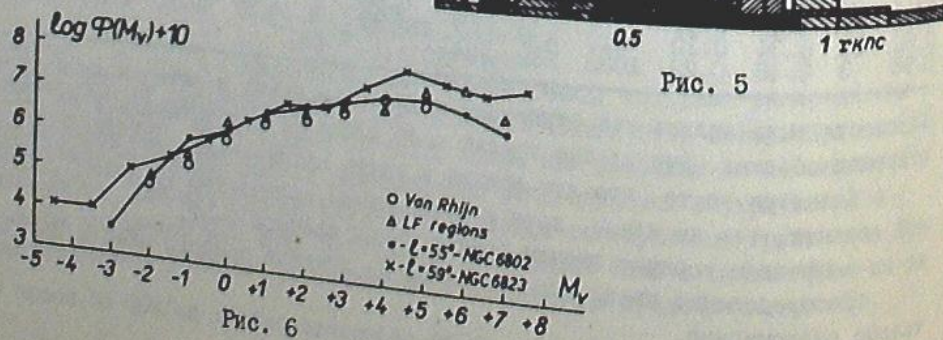


Рис. 6

Плотности гигантов поздних спектральных классов G-K-M начинают падать еще до предела полного оквата. Картина распределения поздних гигантов и звезд B7-B9 всех классов светимости аналогична.

На рис. 5 приведена логарифмическая функция плотности всех поздних гигантов. Сопоставление ее с расположением комплексов пылевых облаков показывает, что даже первое плотное пылевое облако вызывает спад количества звезд.

Функция светимости. На основе данных о пространственных плотностях звезд для исследуемого направления нами было вычислено значение функции светимости в пределах зв. величин $-3 < M_v < +7$, по формуле:

$$\Phi(M_v) = \sum \frac{e^{-\frac{(M - M_g)^2}{2\sigma_g^2}}}{\sqrt{2\pi}\sigma_g} D(r) = \sum \alpha_g(M)D(r),$$

где M_g и σ_g средние значения абсолютной величины и ее дисперсии; $D(r)$ — пространственные плотности звезд разных спектральных групп. Полученные значения функции светимости нанесены на график (рис. 6).

Для сравнения на график нанесена также стандартная функция светимости по Ван Райну [14] и средняя функция, построенная по LF участкам Мак Каски [15,16]. Как видно из рисунка, согласие в целом удовлетворительное. На том же графике приведена и функция светимости звезд для направления NCC6823. В пределах светимости $-1.5 < M_V < +3$ обе функции совпадают между собой. Различие для интервала $-4 < M_V < -1.5$ следует объяснить тем, что направление на NCC6823, по сравнению с исследуемым, характеризуется большим числом звезд ранних спектральных типов: NCC 6823 является ядром ассоциации Лисичка ОВИ.

Апрель, 1976.

ମୁଖ୍ୟମନ୍ୟାନୀ ପରିଷଦରେ କାହାର କାହାର କାହାର କାହାର କାହାର କାହାର କାହାର କାହାର

NGC 6802 - മരിച്ചുപാട്

১৩৩, ৮.০০
(৬২৪০৭৮)

18.4 კვ. გრადუსი ტართის მეორე არეალი, NGC 6802 ღია გრიფის კატეგორია, შესწავლითის სინაზონის კარსკულავთორისი ძალაში ღა კარსკულავს სიცორილი ძალაში იმავა.

სამისაკვრევ არეში გამოყოფილია 6 უძანი განსხვავებული რესაზემებით. სასურალი, მთელი ცამისაკვრევი არისავის, ყველაზე ძირით მონაბეჭდი-ზებუბი განსაზღვრულია 300-700 სმ მანძილებს შირის. გარდა ამისა, წევინიშვ-ბი, რომ ძალაშიკის სიბრტყის ზემოთ მზარდარე ურნებისათვის შეანაბეჭდი იწყება ძალიერებით შორ მანძილებზე (500 სმ), ვიზრე სიბრტყის ქვემოთ მზარდარე ურნები-საჟის (100 სმ).

ରୂପକାଳୀଙ୍କ ଶକ୍ତିରୁଗ୍ରାମ ପରାମରିଦୀର୍ଘ ହାତିପ୍ରାଣୀରେ, ଏହା କିମ୍ବା
ଶିଖ ପାଇଁ ଦେଖିବାରୁ ଆଜିମୁହୁର୍ମାତରି ଅଧିକ 500 ଟଙ୍କା ଲାଗିଥାଏ.

ଦେଖିବା ପାଇଁ କାହାର କାହାର କାହାର କାହାର କାହାର କାହାର କାହାର କାହାର

INTERSTELLAR ABSORPTION AND SPATIAL DISTRIBUTION
OF STARS AROUND THE NGC6802

N.G.GUSEVA, M.D.METREVELI

(Summary)

Interstellar absorption and spatial distribution of stars around the open cluster NGC6802 of 18.4 square degrees are studied.

The region in question is divided into 6 areas of different absorption. On the average, the strongest absorption clouds are arranged within 300-700 pc for the whole area. Besides, one can notice that the absorption begins much farther (500 pc) for the areas above the galactic plane than it does for those below (100 pc) it.

The spatial distribution shows that the densities in all cases fall after 500 pc. The luminosity function estimated conforms well to the standard one.

- Цитированная литература
1. Колесник Л.Н. Бюл. абастум. астрофиз. обс. 1965, 33, 41.
 2. Метревели М.Д., Кузнецов В.И. Бюл. абастум. астрофиз. обс. 1976, 48, 123.
 3. Ворошилов В.И., Гусева Н.Г., Каландадзе Н.Б., Колесник Л.Н., Кузнецов В.И., Метревели М.Д., Хейло Э.С. Каталог в величин и спектральных классов 18000 звезд. Киев. 1976.
 4. Fitzgerald W. Pim. astron. J. 1968, 73, N10, p.1, 983.
 5. Neckel Th. Zs.f.Astroph. 1966, 63, 4, 221.
 6. Neckel Th. Landessternwarte Heidelberg-Königstuhl Veröffentlichungen. 1967, 19.
 7. Григорьева Н.Б. Сообщ. ГАИШ. 1970, 162, 3.
 8. Шиморова А.В. Изв. Крым. астрофиз. обс. 1958, XIX, 189.
 9. Simonson S.K. Aph.J. 1968, 154, N3, p.1, 923.
 10. Метревели М.Д. Бюл. Абастум. астрофиз. обс. 1975, 46, 59.
 11. Isobe S. Publ. Astr. Soc. Japan. 1968, 20, 52.
 12. Boulon J.J. Journ. des Obs. 1963, 46, N10-11, 225.
 13. М.Лис Ф. Статистические методы. 1958, 50.
 14. Rhijn P.J. van. Publ. Kapteyn Astr. Lab. Groningen. 1936, N47.
 15. McCuskey S.W. Aph.J. 1956, 122, 12, 458.
 16. McCuskey S.W. Vistas in Astronomy. 1966, 7, 141.

ДОЖДОВОГО ЗЕМЛЯНОУДОБНОГО ПОДСЕКУЩИХОГО ВОДОСХОДА № 48, 1977
БЫЛЕДЕЛЬ АБАСТУМСКОЙ АСТРОФИЗИЧЕСКОЙ ОБСЕРВАТОРИИ № 48, 1977

МЕЖЗВЕЗДНОЕ ПОГЛОЩЕНИЕ СВЕТА И ПРОСТРАНСТВЕННОЕ
РАСПРЕДЕЛЕНИЕ ЗВЕЗД В ОБЛАСТИ ВОКРУГ СКОПЛЕНИЯ
NGC6823

М.Д.МЕТРЕВЕЛИ, В.И.КУЗНЕЦОВ*)

Избранное направление характерно тем, что луч зрения в нем идет вдоль внутренней стороны Местной спиральной ветви [I-3]. Исследованная область площадью 18.4 кв. градуса, в центре которой находится открытое звездное скопление NGC6823, расположена вблизи галактического экватора:

$$\alpha = 19^{\text{h}}41^{\text{m}}5, \quad \delta = +23^{\circ}13' \\ l = 59^{\circ}4, \quad b = -1^{\circ}$$

Межзвездное поглощение света в градусной площадке вокруг скопления NGC6823 было исследовано ранее в работе [4] согласно плану [5]. В расширение этого плана были получены фотометрические и спектральные характеристики звезд в области диаметром около пяти градусов [6].

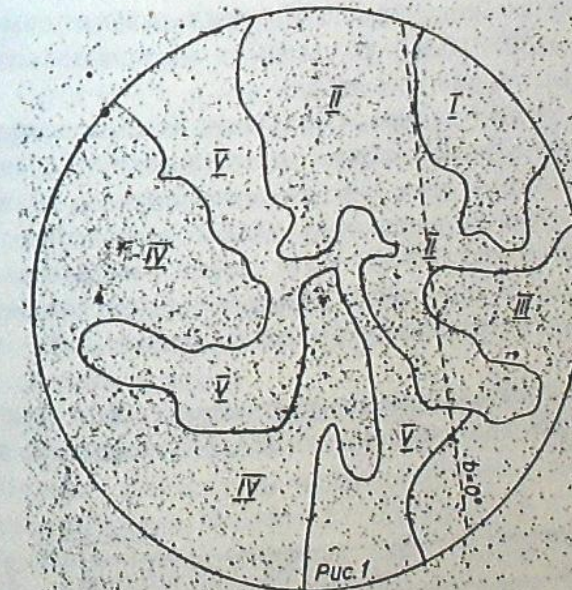


Рис.1

При определении B,V величин звезд (система IBV) был использован наблюдательный материал, полученный на двухкамерном астрографе Главной астрономической обсерватории АН УССР.

*) Главная астрономическая обсерватория АН Украинской ССР.